

Übung zum Fach Rechnerunterstützte Mechanik I

J. Ruck, H. Erdle, T.-A. Langhoff, T. Böhlke

Chair for Continuum Mechanics
Institute of Engineering Mechanics
Department of Mechanical Engineering
Karlsruhe Institute of Technology (KIT)

WS 2017/2018



Ü8: Elastizität

Themen der 8. Übung

- Vektornotationen für Tensoren 2. und 4. Stufe
 - Nichtnormierte Voigtnotation (z.B. für **ABAQUS**)
 - Normierte Voigt-Notation
- Hooke'sches Gesetz in Vektor-Matrix-Notation
- Vergleichsspannungsberechnung
- Spektralzerlegung der Steifigkeitsmatrix
- **Rotation der Steifigkeitsmatrix**

Nichtnormierte Voigtnotation

σ, ε sind **symmetrisch** \rightarrow Nur 6 unabhängige Komponenten

Idee: Schreibe σ, ε als Vektoren mit 6 Komponenten

In **nichtnormierter Voigt-Notation** gilt:

$$\sigma = (\sigma_{11}, \sigma_{22}, \sigma_{33}, \sigma_{23}, \sigma_{13}, \sigma_{12})^T,$$

$$\varepsilon = (\varepsilon_{11}, \varepsilon_{22}, \varepsilon_{33}, 2\varepsilon_{23}, 2\varepsilon_{13}, 2\varepsilon_{12})^T$$

Achtung! Tensoren zweiter Stufe werden in zwei verschiedenen Notationen geschrieben. Dies hat rechnerische Gründe. Bei Operationen auf Tensoren ist dies jedoch **immer** zu berücksichtigen (**potenzielle Fehlerquelle**).

Unterscheidung (außer bei σ und ε):

$$\mathbf{A} \rightarrow A_\sigma = (A_{11}, A_{22}, A_{33}, A_{23}, A_{13}, A_{12})^T,$$

$$\mathbf{A} \rightarrow A_\varepsilon = (A_{11}, A_{22}, A_{33}, 2A_{23}, 2A_{13}, 2A_{12})^T$$

Operatoren

- **Definition:** $D_\alpha = \text{diag}(1, 1, 1, \alpha, \alpha, \alpha)$
- Skalarprodukt $\mathbf{A} \cdot \mathbf{B}$

$$\mathbf{A} \cdot \mathbf{B} = A_\sigma^\top B_\varepsilon = A_\sigma^\top D_2 B_\sigma = A_\varepsilon^\top D_{1/2} B_\varepsilon$$

- Umrechnung zwischen den spannungs-/dehnungsartiger Notation

$$A_\varepsilon = D_2 A_\sigma,$$

$$A_\sigma = D_{1/2} A_\varepsilon$$

- Norm eines Tensors zweiter Stufe (**Frobenius-Norm**)

$$\|\mathbf{A}\| = \sqrt{\mathbf{A} \cdot \mathbf{A}} = \sqrt{A_\sigma^\top D_2 A_\sigma} = \sqrt{A_\sigma^\top A_\varepsilon} = \sqrt{A_\varepsilon^\top D_{1/2} A_\varepsilon}$$

Matrix-Notation für Tensoren 4.Stufe

\mathbb{C} besitzt **Hauptsymmetrie** und beide **Nebensymmetrien**:

$$C_{ijkl} = C_{jikl} = C_{klij} = C_{ijlk}$$

→ Nur 21 unabhängige Komponenten

Idee: Schreibe \mathbb{C} als 6×6 Matrix

In **nichtnormierter Voigt-Notation** gilt:

$$C = \begin{pmatrix} C_{1111} & C_{1122} & C_{1133} & C_{1123} & C_{1113} & C_{1112} \\ & C_{2222} & C_{2233} & C_{2223} & C_{2213} & C_{2212} \\ & & C_{3333} & C_{3323} & C_{3313} & C_{3312} \\ & & & C_{2323} & C_{2313} & C_{2312} \\ & & \text{sym.} & & C_{1313} & C_{1312} \\ & & & & & C_{1212} \end{pmatrix}$$

Damit ergibt sich direkt

$$\sigma = C\varepsilon$$

ACHTUNG!

(\mathbb{A}, \mathbb{B} Tensoren vierter Stufe mit den gleichen Symmetrien wie \mathbb{C})

$$\mathbb{A} \cdot \mathbb{B} = \text{tr} \mathbb{A} \mathbb{B}$$

Achtung: Nicht direkt auf die nicht-normierte Konvention übertragbar!
Damit gilt für die Norm:

$$\|\mathbb{A}\| = \sqrt{\mathbb{A} \cdot \mathbb{A}}$$

ACHTUNG!

Im isotropen Fall gilt beispielsweise: $\sigma = 2G\varepsilon' + 3K\text{tr}\varepsilon\mathbf{I}$

Aber: $C_{1212} = G \neq 2G$, denn auf Grund der Symmetrieeigenschaften folgt

$$\begin{aligned}\sigma_{ij} &= C_{ijkl}\varepsilon_{kl} \\ \rightarrow \sigma_{12} &= C_{12kl}\varepsilon_{kl} \\ &= 0 + C_{1212}\varepsilon_{12} + C_{1221}\varepsilon_{12} = 2C_{1212}\varepsilon_{12}\end{aligned}$$

Also gilt für die isotrope Steifigkeitsmatrix in der nichtnormierten Voigt-Notation

$$C = \begin{pmatrix} K + \frac{4G}{3} & K - \frac{2G}{3} & K - \frac{2G}{3} & 0 & 0 & 0 \\ K - \frac{2G}{3} & K + \frac{4G}{3} & K - \frac{2G}{3} & 0 & 0 & 0 \\ K - \frac{2G}{3} & K - \frac{2G}{3} & K + \frac{4G}{3} & 0 & 0 & 0 \\ & & & G & 0 & 0 \\ & & \text{sym.} & & G & 0 \\ & & & & & G \end{pmatrix}$$

Normierte Voigtnotation

Problem: Nichtnormierte Voigtnotation benötigt Zusatzinformation (Art der Notation)

Idee: Darstellung so wählen, dass das Tensorskalarprodukt dem Standard-SKP für Vektoren entspricht

$$\mathbf{A} \rightarrow \hat{\mathbf{A}} = \left(A_{11}, A_{22}, A_{33}, \sqrt{2}A_{23}, \sqrt{2}A_{13}, \sqrt{2}A_{12} \right)^T$$

Dann gilt:

$$\mathbf{A} \cdot \mathbf{B} = \hat{\mathbf{A}}^T \hat{\mathbf{A}},$$

$$\|\mathbf{A}\| = \sqrt{\hat{\mathbf{A}}^T \hat{\mathbf{A}}} = \|\hat{\mathbf{A}}\|_2$$

Vorteil: Die Notation für Spannungen und Dehnung erfolgt gleichermaßen; *Keine* Zusatzinformation

Matrix-Notation für Tensoren 4.Stufe (normierte Voigt-Notation)

Es gilt

$$\hat{C} = \begin{pmatrix} C_{1111} & C_{1122} & C_{1133} & \sqrt{2}C_{1123} & \sqrt{2}C_{1113} & \sqrt{2}C_{1112} \\ & C_{2222} & C_{2233} & \sqrt{2}C_{2223} & \sqrt{2}C_{2213} & \sqrt{2}C_{2212} \\ & & C_{3333} & \sqrt{2}C_{3323} & \sqrt{2}C_{3313} & \sqrt{2}C_{3312} \\ & & & 2C_{2323} & 2C_{2313} & 2C_{2312} \\ & & \text{sym.} & & 2C_{1313} & 2C_{1312} \\ & & & & & 2C_{1212} \end{pmatrix},$$

$$\hat{\sigma} = \hat{C} \hat{\varepsilon}$$

Umrechnung \longleftrightarrow nicht-normierten Voigtnotation

$$\hat{C} = D_{\sqrt{2}} C D_{\sqrt{2}},$$

$$C = D_{\sqrt{2}/2} \hat{C} D_{\sqrt{2}/2}$$

Skalarprodukt und Norm

$$\mathbb{A} \cdot \mathbb{B} = \text{tr} \hat{A} \hat{B} = \text{tr} A D_4 B,$$

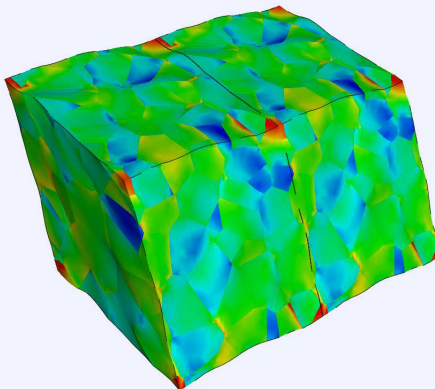
$$\|\mathbb{A}\| = \sqrt{\mathbb{A} \cdot \mathbb{A}} = \sqrt{\text{tr} \hat{A} \hat{A}} = \sqrt{\text{tr} A D_4 A}$$

von Mises Vergleichsspannung σ_{vM}

Definition

$$\sigma_{\text{vM}} = \sqrt{\frac{3}{2}} \|\text{dev}(\boldsymbol{\sigma})\| \quad \text{mit} \quad \text{dev}(\boldsymbol{\sigma}) = \boldsymbol{\sigma} - \frac{1}{3} \text{tr} \boldsymbol{\sigma} \mathbf{I} \quad (\text{Spannungdeviator})$$

Bedeutung vor allem in der Plastizität polykristalliner Metall



Spektralzerlegung

- \mathbb{C} ist **symmetrisch, positiv definit (spd)**
- $\lambda_1, \dots, \lambda_6$ sind die 6 Eigenwerte (EW) von \mathbb{C}
- $\bar{\lambda}_1, \dots, \bar{\lambda}_{N_\lambda}$ sind die *verschiedenen* EW von \mathbb{C}
- \mathbb{C} ist **spd** $\rightarrow \lambda_i > 0$ ($i = 1, \dots, 6$)
- \mathbb{C} **symmetrisch**
 \rightarrow Orthonormalbasis aus **Eigensoren** \mathcal{E}_i ($i = 1, \dots, 6$) existiert
- $1 \leq N_\lambda \leq 6$
- \mathbb{P}_i ist **Eigenprojektor** von \mathbb{C} zum EW $\bar{\lambda}_i$ ($i = 1, \dots, N_\lambda$), d.h.:

$$\mathbb{P}_i \mathbb{P}_j = \mathbf{0} \quad (i \neq j)$$

$$(\mathbb{P}_i)^n = \mathbb{P}_i \quad (n = 1, 2, \dots)$$

$$\mathbb{P}_i = \sum_{j: \lambda_j = \bar{\lambda}_i} \mathcal{E}_j \otimes \mathcal{E}_j$$

$$\mathbb{C} = \sum_{i=1}^{N_\lambda} \bar{\lambda}_i \mathbb{P}_i$$

(Spektraldarstellung)

Berechnung der Eigenprojektoren in Vektornotation

Gegeben: \mathbb{C} in nichtnormierter Voigtnotation $\rightarrow C$
Gesucht: Spektraldarstellung $\bar{\lambda}_i, \mathbb{P}_i$

EW & Eigentensoren **immer** in normierter Voigtnotation berechnen

Algorithmus

- Transformation von C nach $\hat{C} = D_{\sqrt{2}} C D_{\sqrt{2}}$ (normierte Voigtnotation)
- Berechnung der 6 EW $\lambda_1, \dots, \lambda_6$ und EV v_1, \dots, v_6 mit eig
- Schrittweise Konstruktion der Eigenprojektoren
 1. Setze $i = 1$
 2. Wurde der EW λ_i (EV: v) schon in einem anderen Projektor \hat{P}_j berücksichtigt?
 2. a) Ja: Berechne $w = \frac{v - \hat{P}_j v}{\|v - \hat{P}_j v\|}$, $\hat{P}_j = \hat{P}_j + w w^T$. Gehe zu 3.
 2. b) Nein: $N_\lambda = N_\lambda + 1$, $\bar{\lambda}_{N_\lambda} = \lambda_i$, $v = \frac{v}{\|v\|}$, $\hat{P}_{N_\lambda} = v v^T$
 3. Falls $i < 6$: $i = i + 1$; sonst: **Fertig**
- Rücktransformation: $P_i = D_{\sqrt{2}/2} \hat{P}_i D_{\sqrt{2}/2}$

Probe: Spektraldarstellung

Ergebnisverifikation

Berechne

$$C^* = \sum_{i=1}^{N_\lambda} \bar{\lambda}_i P_i, \quad E = C^* - C, \quad e = \frac{\|E\|_F}{\|C\|_F}$$

Eigenschaften der Spektraldarstellung

- Nachgiebigkeits- und Steifigkeitstensor besitzen
 - (a) reziproke Eigenwerte und
 - (b) gleiche Eigenprojektoren

$$\mathbb{S} = \mathbb{C}^{-1} = \sum_{i=1}^{N_\lambda} \frac{1}{\lambda_i} \mathbb{P}_i$$

- Eigenwerte sind rotationsinvariant (da skalarwertig)

Zusatzaufgabe: Rotation der Steifigkeitsmatrix

- Wird häufig benötigt, da Kristalle im Gefüge **unterschiedliche Orientierungen** aufweisen
- Verifikation der Rotationsroutine über die Eigenwerte möglich (rotationsinvariant)
- Rotation der lokalen Spannungen/Dehnungen kann notwendig sein, z.B. um Spannungen in einem **Faser-Komposit** in das **lokale Koordinatensystem** zu drehen
- Euler-Rotation mit Winkel $\varphi_1, \Phi, \varphi_2$

